



Instituto Geológico
y Minero de España

Álbum Fotográfico

Documentación complementaria MAGNA
hoja E.1:50.000

Venta de los Santos
864 (21-34)



21-34-IN-FL-Fo1.- Las alternancias de cuarcitas y pizarras de las Capas Pochico (4) en el camino de la Mina del Avellanar. Aparentemente se trataría de una serie subhorizontal, con la S_0 y S_2 subparalela. Aspecto de una serie alternante con fuerte desarrollo de la foliación.



21-34-IN-FL-Fo3.- En el mismo afloramiento de la Fo1. "Peces" tectónicos causados por la foliación milonítica (F_2) en la Zona de Cizalla Extensional Santa Elena-Puente Génave (Z.C.E. SE-PG).



21-34-IN-FL-Fo2.- En el mismo afloramiento de la foto anterior, pueden observarse capas subparalelas con criterios de polaridad estratigráfica capa (a) con techo hacia arriba y capa (b) hacia abajo. En la línea de bolígrafo se tienen pliegue intra capa (c) traspuesto, la S_0 y S_2 son subparalelas.



21-34-IN-FL-Fo4.- En el mismo afloramiento de la Fo1. Pliegues intramiloníticos formados en la F_2 en la Z.C.E. SE-PG.



21-34-IN-FL-Fo5.- Escombreras de la Mina El Avellanar en el río Dañador. Las escombreras y los hundimientos se encuentran sobre las cuarcitas y pizarras de las "Capas Pochico" (4). En la Zona de Cizalla Santa Elena-Puente Génave.



21-34-IN-FL-Fo7.- Escombreras de pequeño tamaño en la margen derecha del río Dañador, aguas arriba de la Mina El Avellanar, al sur del Cortijo de Arroyo Hondillo.



21-34-IN-FL-Fo6.- En las cuarcitas de techo de la Formación "Capas Pochico" en el río Dañador, afloran bancos métricos con "hummocky cross-stratification" (H.C.S.) del tipo PH y PHF con longitud de onda de los hummocks del orden de 1 m.



21-34-IN-FL-Fo8.- Pliegues en Capas de Pochico, con la geometría de los pliegues asimétricos de la segunda etapa F_2 (Z.C.E. SE-PG). Dique de cuarzo cortando la estructura.



21-34-IN-FL-Fo9.- Detalle de la anterior. Pliegues F_2 asimétricos.



21-34-IN-FL-Fo10.- Sinclinal en Pizarras de Chavera (14) en el Arroyo de Cornicabra al sur de Piedras del Águila. Puede observarse el contacto de estas Pizarras con la Caliza de Urbana (12) a lo largo de la senda. En este punto la Caliza de Urbana tiene un espesor de 10 m aproximadamente.



22-34-IN-FL-Fo12.- En el sector de Piedras del Águila, 2 Km al Oeste de la Fo10, la Caliza de Urbana (12) alcanza espesores próximos al centenar de metros. Este hecho es insólito en el ámbito de la Zona Surcentroibérica, en donde las referencias bibliográficas sobre esta formación nunca describen afloramientos de este espesor. El afloramiento es el núcleo sinclinal de F₁, cuyo eje pasa por el barranco.

7



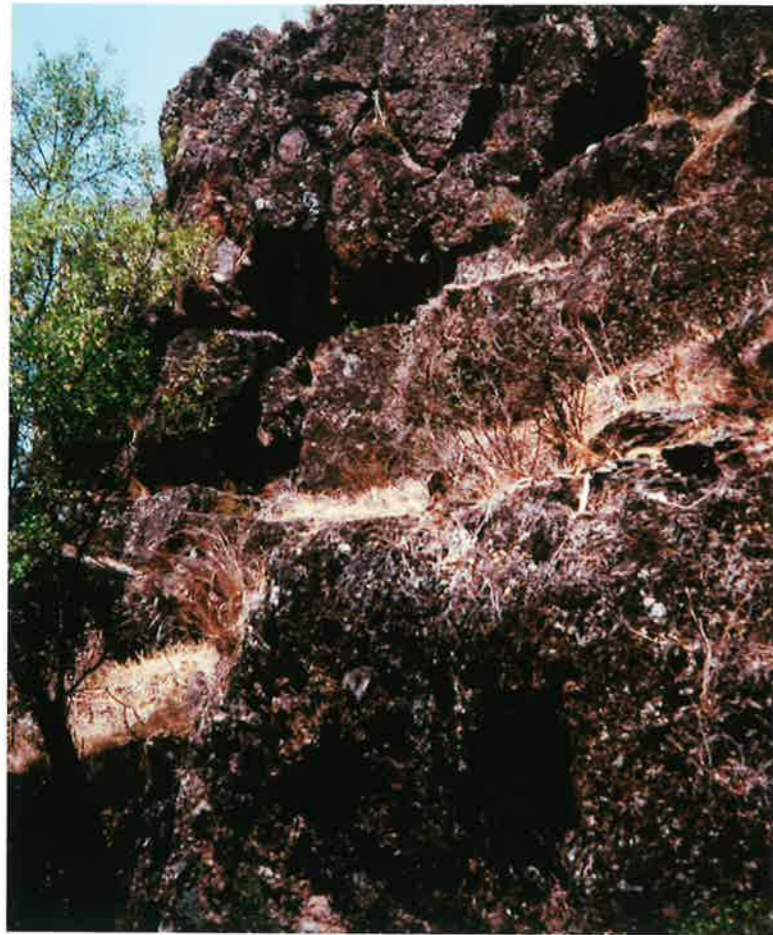
22-34-IN-FL-Fo13.- Conglomerados del Carbonífero Superior en la margen izquierda del río Guadalén.



22-34-IN-FL-Fo14.- Detalle de la foto anterior. Obsérvese el tamaño y heterometría de los cantos.



21-34-IN-FL-Fo15.- Discordancia angular y erosiva de los conglomerados heterométricos y polimicticos del Carbonífero Superior (24) cg sobre las cuarcitas y areniscas cuarcíticas plegadas de las Alternancias "El Caño" (6) S. Margen derecha del río Guadalén en el cortijo El Cerrajero. P.I.G.



21-34-IN-FL-Fo16.- Aspecto de los conglomerados del Carbonífero Superior (24) en este mismo afloramiento. Puede observarse las dimensiones decimétricas de algunos cantos y desde angulosas a subredondeadas. P.I.G.



21-34-IN-FL-Fo17.- Secuencias tempestíticas (U.C.S.) de orden decimétrico y de tipo HXM con un término de ripples (X) muy bien desarrollado. Afloramiento de los Bancos Mixtos (10) en el Arroyo de La Parrosa.



21-34-IN-FL-Fo18.- Areniscas cuarcitas en capas decimétricas con *hummocky cross-stratification* (H.C.S.) en secuencias de tipo HX y HXM (inter capas milimétricas de lutita), estructuradas en una megasecuencia estratocreciente (C.U.S.) (techo a la derecha). Bancos Mixtos (10) en el Arroyo de La Parrosa.



21-34-IN-FL-Fo19.- Banco de 3,1 m en arenisca cuarcítica de grano fino masiva. Estas megacapas se encuentran en el tramo intermedio de los Bancos Mixtos (10) denominado "Cuarcita de Arcón" en el Arroyo de La Parrosa.



21-34-IN-FL-Fo20.- Secuencias milimétricas en arena muy fina y lutita, con gradación e intensa bioturbación. Tempestitas de afinidad turbidítica T_c^o y T_d^o en las "Alternancias El Caño" (6). Afloramiento en el Km 11 de la comarcal de Villamanrique a Venta de los Santos.



21-34-IN-FL-Fo21.- Secuencias tempestíticas de espesor decimétrico y tipo PHM y BPHM en la "Alternancia El Caño" (6) en el Km 11,500 de la comarcal de Villamanrique a Venta de los Santos.



21-34-IN-FL-Fo23.- Pliegue anticlinal en los Bancos Mixtos (10) en Barranco Hondo. Límite de esta Hoja con la 21-33. Es la geometría típica de la F_1 , La pizarrosidad que se observa paralela a S_0 es diagenética.



21-34-IN-FL-Fo22.- Aspecto de las Pizarras Guindo (7) en Barranco Hondo (sector centro septentrional de la Hoja).



21-34-IN-FL-Fo24.- "Hummocky cross-stratification" (H.C.S.) en secuencias métricas de tipo PHF y PHFX en areniscas cuarcíticas de grano medio. Hummock con longitud de onda superior al metro "Alternancias El Caño" (6) en el Barranco de las Piedras (sector centro septentrional).



21-34-IN-FL-Fo25.- Nivel de "*pebbly mudstone*" de grano soportado a matriz soportado intercalado en las series aflorantes de las "Pizarras del Río" (5) en el Embalse del Guadalmena. El nivel está constituido por cantos de lidita, cuarcita y cantos blandos con orla ferruginosa en matriz lutítica y con un buen redondeamiento.